

โครงการวิจัยย่อยลำดับที่ 11

เรื่อง การประเมินช่องสัญญาณที่มีแหล่งจ่ายรวมในช่องการสื่อสารที่เกิดการเฟดดิ้ง ปีที่ 5

1. ผู้รับผิดชอบโครงการ รองศาสตราจารย์ ดร. ประสิทธิ์ ทีฆพุดมิ

2. วัตถุประสงค์

จุดประสงค์ของโครงการวิจัยนี้วิจัยเกี่ยวกับเทคโนโลยีโทรคมนาคมสื่อสารไร้สายในระบบ CDMA เนื่องจากในปัจจุบันแนวโน้มทางการสื่อสารในอนาคตไม่ได้จำกัดอยู่เพียง การส่งสัญญาณเสียงแต่เพียงอย่างเดียวเท่านั้นการส่งสัญญาณในลักษณะอื่น ๆ เช่น ภาพเคลื่อนไหว ข้อมูลภาพนิ่งค่อนข้างที่จะได้รับความนิยมมากขึ้นและมีปริมาณเพิ่มขึ้น ทำให้ทรัพยากรของระบบที่มีอยู่อย่างจำกัดก็ต้องถูกจัดสรรเพื่อให้เกิดประโยชน์สูงสุด หนึ่งในหัวข้อโครงการค้นคว้าวิจัยที่มีอยู่อย่างกว้างขวางในปัจจุบันคือระบบสื่อสาร ที่รองรับการส่งข้อมูลจากผู้ให้บริการจำนวนหลายๆรายพร้อมกันในเวลาเดียวกันโดยผ่านช่องสัญญาณเพียงช่องเดียว (CDMA) โดยที่ผ่านมามีหลายวิธีที่ทำให้สามารถส่งข้อมูลจากผู้ให้บริการหลายรายผ่านช่องสัญญาณช่องเดียวได้ เทคนิคการเข้าถึงหลายทางแบบแบ่งรหัส (Code Division Multiple Access หรือ CDMA) ก็เป็นเทคนิคหนึ่งที่ได้รับการค้นคว้าวิจัยจนสามารถนำไปใช้งานได้จริงมาเป็นระยะเวลาหนึ่ง อีกทั้งในปัจจุบันเทคนิคนี้ยังได้รับความนิยมเพิ่มมากขึ้นเนื่องจากเป็นที่คาดหมายว่าวิธีการเข้าถึงหลายทางแบบแบ่งรหัสนี้ (CDMA) จะถูกนำมาใช้ในระบบโทรศัพท์เคลื่อนที่รุ่นที่สาม (3 Generation หรือ 3G) ตามมาตรฐาน UMTS/IMT 2000

ในขณะเดียวกันรหัสเทอร์โบ (Turbo code) ถูกยอมรับแล้วว่าเป็นกระบวนการเข้ารหัสและถอดรหัสที่สามารถลดความผิดพลาดจากการส่งข้อมูล digital ในช่องสัญญาณไร้สายที่มีการรบกวนแบบเกาส์สีขาวแบบบวก (AWGN) ได้ดีที่สุดในขณะนี้เท่าที่มนุษย์เคยทำมา ทำให้ในช่วงเวลา 4-5 ปีที่ผ่านมา งานวิจัยเกี่ยวกับรหัสเทอร์โบได้รับความนิยมเป็นอย่างสูง แต่เนื่องจากอุปสรรคสำคัญในการนำเอารหัสเทอร์โบมาใช้ในระบบ CDMA คือการรบกวนกันของผู้ใช้รายอื่นๆที่ใช้ช่องสัญญาณเดียวกัน (multiple access interference : MAI) ทำให้ช่องสัญญาณที่เกิดขึ้นไม่เป็นเกาส์สีขาวแบบบวก (AWGN) เป็นผลทำให้รหัสเทอร์โบ (Turbo code) ไม่สามารถทำงานได้ ดังนั้นจุดประสงค์หลักของโครงการวิจัยนี้คือเป็นไปได้ที่จะนำมาใช้จริง

3. ขอบเขตหรือเป้าหมายของโครงการ

- ทำการวิจัยและศึกษาบทความทางวิชาการที่เกี่ยวข้องกับอัลกอริทึมในระบบ CDMA
- พัฒนาและปรับปรุงอัลกอริทึมที่ใช้กับระบบ Multiuser Detection ในระบบ CDMA โทรศัพท์เคลื่อนที่ในยุคที่ 3 และ 4 ให้มีประสิทธิภาพสูงขึ้น
- ศึกษาและทำทดลองโดยใช้การเข้ารหัสแหล่งกำเนิดที่มีคุณสมบัติการแพร่กระจายของข้อผิดพลาด
- ค้นหาแนวทางใหม่ ๆ ในการกำจัดผลการรบกวนของผู้ใช้รายอื่นที่รบกวนต่อผู้ใช้ที่สนใจ
- จัดทำบทความทางวิชาการ เพื่อเผยแพร่ความรู้และผลงานที่ได้จากการทำวิจัยทั้งในระดับชาติ และ ระดับนานาชาติ

4. ส่วนงานที่ได้ดำเนินการไปแล้ว

- พัฒนาและปรับปรุงโครงสร้างของเครื่องรับที่สถานีฐานแบบดีเทกต์ผู้ใช้หลายคนในระบบ DS-SS-CDMA
- พัฒนาและปรับปรุงอัลกอริทึมโดยใช้รหัส Turbo code ในระบบที่มีการประมาณ หาค่าของสัญญาณ
- พัฒนาการ Turbo Multiuser detection ในระบบ CDMA เพื่อนำมาใช้ในโทรศัพท์เคลื่อนที่ในยุคที่ 3 และ 4
- ทำการพัฒนาและศึกษา EM-algorithm (Expectation Maximization Algorithm) เพื่อนำมาใช้ในการประมาณค่าของสัญญาณของระบบ CDMA
- ทดลองเพิ่มตำแหน่งที่เป็นไปได้ของสัญลักษณ์ต้องห้ามเพื่อวัดประสิทธิภาพในการทำงานของตัวเข้ารหัสและถอดรหัสและศึกษาหาผลกระทบที่เกิดจากวิธีการเข้ารหัสของสัญญาณรวมกับการเข้ารหัสแหล่งกำเนิด
- ปรับปรุงโปรแกรมให้สามารถรองรับความสามารถในการเพิ่มตำแหน่งของสัญลักษณ์ต้องห้าม

- ทำการทดลองเพื่อตรวจสอบว่าถ้าผ่านช่องสื่อสารที่มีสัญญาณรบกวนที่ก่อให้เกิดความผิดพลาดในปริมาณไม่มากนักจะสามารถทำการแก้ไขข้อผิดพลาดนั้นโดยใช้วิธีการเปลี่ยนสัญลักษณ์เป็นส่วนๆ ได้หรือไม่
- ทำการทดลองวัดความถูกต้องในการเปลี่ยนสัญลักษณ์เป็นส่วนๆ ว่ามีความถูกต้องเป็นปริมาณเท่าไรเมื่อเปรียบเทียบกับปริมาณของข้อผิดพลาดทั้งหมดที่เกิดขึ้นเนื่องจากสัญญาณรบกวนในช่องสัญญาณ
- ปรับปรุงและแก้ไขโปรแกรมเพื่อทำการทดสอบความถูกต้องในการเปลี่ยนสัญลักษณ์เป็นส่วนๆ
- วัดประสิทธิภาพวัดประสิทธิภาพในการเข้ารหัสลับของตัวเข้ารหัสและตัวถอดรหัส และศึกษาหาผลกระทบที่เกิดจากวิธีการทดลองเพิ่มเติมตำแหน่งที่เป็นไปได้ของสัญลักษณ์ต้องห้าม

5. ส่วนงานที่จะดำเนินการต่อไป

- พัฒนาโครงสร้างของเครื่องรับที่สถานีฐานในระบบ Ds-CDMA ให้สามารถดีเทกต์ผู้ใช้หลายคนพร้อมๆ กันได้ในช่องสัญญาณขยายเชื่อมโยงขาขึ้น
- พัฒนาซอฟต์แวร์ที่จำลองการทำงานของเครื่องรับแบบวนซ้ำโดยอาศัยตัวประมาณช่องสัญญาณ
- ทำการศึกษา EM algorithm เพื่อนำมาใช้ในระบบ ดีเทกต์ผู้ใช้หลายคนพร้อมๆ กันและพัฒนาต่อไปในระบบที่สัญญาณ fading เป็นแบบ frequency selective และ time varying fading

6. ผลิตผลและหรือความสัมฤทธิ์ผลของงานที่ได้ดำเนินการไปแล้ว

6.1 ผลงานนำเสนอในที่ประชุมวิชาการ

6.1.1 T. Ploysuwan and P. Teekaput ,“Blind Iterative Turbo Multiuser Detection For Uplink Cdma System With Uuknow Intercell Interferences,” Proc. EECOM-28, pp 1033-1036, 20-21 Oct 2005

6.1.2T. Ploysuwan and P. Teekaput ,“Blind Turbo Multiuser Detector With Unknown Intercell Interferences” ” Proc. IEEE ISWPC, pp 620-626, 20-21 Jan 2006.

6.1.3 P. Teekaput and S. Chokchaitam, “Secure Embedded Error Detection Arithmetic Coding,” Proceedings of ICITA 2005, vol.2, pp. 568-571, Jul. 2005.

6.2 สิ่งประดิษฐ์

- โปรแกรมคอมพิวเตอร์จำลองการทำงานของภาครับ/ส่ง ข้อมูลในระบบ CDMA ที่พัฒนาโดยใช้โปรแกรม visual studio 7 และ MATLAB เวอร์ชัน 7
- โปรแกรมคอมพิวเตอร์จำลองการทำงานของเครื่องรับในระบบ DS-CDMA และโปรแกรมตัวประมาณช่องสัญญาณโดยใช้วิธี EM Algorithm
- โปรแกรมคอมพิวเตอร์จำลองระบบ Asynchronous Uplink DS-CDMA พัฒนาโดยใช้โปรแกรม MATLAB เวอร์ชัน 7 และ visual studio 7
- โปรแกรมคอมพิวเตอร์จำลองการสร้างสัญญาณเฟดดิ้ง

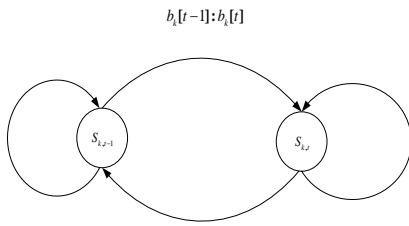
7. ทฤษฎีที่เกี่ยวข้อง

ภาคผนวก ก.

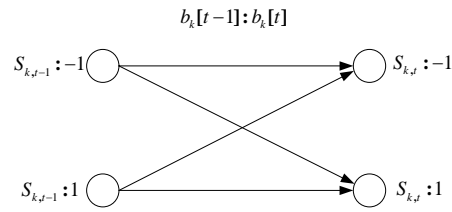
พิจารณาระบบขาขึ้นของ asynchronous CDMA โดยกำหนดให้มีผู้ใช้ K รายในระบบที่มีการรบกวนแบบ Additive White Gaussian (AWGN) โดรนสมมุติให้ที่สถานีฐานทราบเพียง spreading sequence ของแต่ละผู้ใช้แต่ละรายภายในเซลล์ K รายโดยที่ spreading ดังนั้นสัญญาณที่ถูกส่งออกไปโดยผู้ใช้แต่ละรายจะมีลักษณะเป็น $x_k(t) = A_k \sum_{i=0}^{M-1} b_k[i] s_k(t-iT-d_k)$ โดยที่ค่า d_k ($0 \leq t < T$) เป็นค่าหน่วงเวลาจากผู้ใช้นั้นแต่ละราย และค่าของสัญญาณ $s_k(t)$ สามารถเขียนได้เป็น $s_k(t) = \sum_{j=0}^{N-1} c_k[j] \psi(t-jT_c)$ ซึ่งจะมีค่าในช่วงเวลา $0 \leq t \leq T$ และ $T_c = T/N$. โดยที่ค่าสัญญาณของสัญญาณ $\psi(t)$ ถูกนอร์มอลไลซ์โดย $\int_0^T \psi(t)^2 dt = 1$ ในช่วงของ $\{c_k[j]\}_{j=0}^{N-1}$ เมื่อกำหนดให้สัญญาณ multi-path fading มีค่าเป็น $g_k(t) = \sum_{l=1}^L \alpha_{kl} \delta(t-\tau_{kl}^{(b)})$ โดยที่ค่า α_{kl} และ τ_{kl} อัตราขยายของช่องสัญญาณและค่าประวิงเวลาซึ่งคู่กับอัตราขยายโดยที่ $\tau_{k1} < \tau_{k2}, \dots, < \tau_{kL}$ ในเสารับสัญญาณที่ b

$$\begin{aligned} r(t) &= \sum_{k=1}^K \sum_{i=0}^{M-1} b_k[i] h_k(t-iT) + n(t) \\ &= \underbrace{\sum_{i=0}^{M-1} b_k[i] h_k(t-iT)}_{y_k^{(b)}(t)} + \sum_{\substack{k'=1 \\ k' \neq k}}^{K-1} \sum_{i=0}^{M-1} b_{k'}[i] h_{k'}(t-iT) \end{aligned} \quad (1)$$

เมื่อกำหนดให้ $t_k^{(b)} = (d_k + d_u^{(b)} + T_c)/T$ เป็นค่าประวิงเวลาสูงสุดในแต่ละสัญลักษณ์ข้อมูลที่ส่ง ดังนั้นเมื่อทำการสุ่มเก็บ ข้อมูลทุกๆ เวลา $t = iT + nT_c$ ในแต่ละเสารับสัญญาณดังนั้นสัญญาณที่ได้รับจะสามารถจัดรูปได้และ Vector ของสัญญาณที่รับในเครื่องรับสามารถเขียนได้เป็น



1.1 state diagram



1.2 trellis diagram

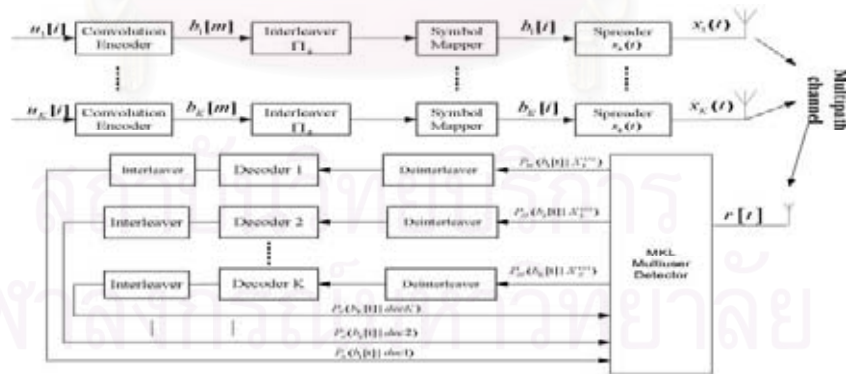
รูปที่ 1. แสดงค่าสถานะเสมือนของข้อมูล $b_k[t]$ และ $b_k[t-1]$

-11

11

$$\begin{aligned}
 r[t] &= \sum_{k=1}^{K_{in}} \underbrace{(b_k[t]C_k^{(0)} + b_k[t-1]C_k^{(1)})}_{D_k(\underline{b}_{k,t})} g_k + w[t] \\
 &= \sum_{k=1}^{K_{in}} (b_k[t]h_k^{(0)} + b_k[t-1]h_k^{(1)}) + w[t] \quad (2) \\
 &= Hb[t] + w[t]
 \end{aligned}$$

โดยอาศัยหลักการ mapping โดยอาศัยหลักความเป็นไปได้ระหว่าง $b_k[t]$ และ $b_k[t-1]$ ดังนั้นในทุกๆคู่ของ $\underline{b}_{k,t} = (b_k[t], b_k[t-1])$ เราจะได้สามารถสร้างค่า state ¹⁻¹ ซึ่งคู่กับ state $(S_{k,t-1}, S_{k,t}) \rightarrow (b_k[t-1], b_k[t]) \rightarrow (s', s)$ เนื่องจากจุดประสงค์ของงานวิจัยนี้ต้องการประมาณค่าข้อมูลที่ถูกลบและค่า parameter ของช่องสัญญาณดังนั้นกำหนดให้ $\theta = [\theta_1, \dots, \theta_K]$ โดยที่ $\theta_k = \{g_k, B_k, \sigma_k^2\}$ และ $B_k = \{b_k[t]\}_{t=0}^M$ โดยที่ $B_{k/b_k[t]} = B_k \setminus b_k[t]$



รูป 2. รูปแบบของเครื่องส่งและรับในระบบ CDMA ที่นำเสนอ

2.1 การประมาณค่า Bayesian a posterior probability ของค่า θ_k

โดยการอาศัยวิธีการ kullblack-leibler ในกรณีที่เราสงสัยผู้ใช้รายที่ k โดยให้ค่า parameter ของผู้ใช้รายอื่นคงที่คงที่ดังนั้น

$$\begin{aligned} KL(P(\theta_k^{(n-1)} | X_{k,M}^{(n)}) || P(\theta_k | X_{k,M}^{(n)})) &= \int P(\theta_k^{(n-1)} | X_{k,M}^{(n)}) \ln\left(\frac{P(\theta_k^{(n-1)} | X_{k,M}^{(n)})}{P(\theta_k | X_{k,M}^{(n)})}\right) d\theta_k \\ &= E_{P(\theta_k^{(n-1)} | X_{k,M}^{(n)})} \left[\ln\left(\frac{P(\theta_k^{(n-1)} | X_{k,M}^{(n)})}{P(\theta_k | X_{k,M}^{(n)})}\right) \right] \end{aligned} \quad (3)$$

โดยที่

$$x_k^{(n)}[t] = r[t] - \sum_{l=1}^{k-1} D_l(\hat{b}_{l,t}^{(n)}) \hat{g}_l^{(n)} - \sum_{l=k+1}^K D_l(\hat{b}_{l,t}^{(n-1)}) \hat{g}_l^{(n-1)} \quad (4)$$

และ

$$X_{k,M}^{(n)} = \{x_k^{(n)}[1] \quad x_k^{(n)}[2] \quad , \dots , \quad x_k^{(n)}[M]\}$$

จากคุณสมบัติของ kullblack-leibler เราจะพบว่า

$$\theta_k^{(n-1)} = (B_k^{(n-1)}, g_k^{(n-1)}, \sigma_k^{2(n-1)})$$

1. $KL(P(\theta_k^{(n-1)} | X_{k,M}^{(n)}) || P(\theta_k | X_{k,M}^{(n)})) \geq 0$
2. ถ้า $KL(P(\theta_k^{(n-1)} | X_{k,M}^{(n)}) || P(\theta_k | X_{k,M}^{(n)})) = 0$ แสดงว่า $P(\theta_k | X_{k,M}^{(n)}) = P(\theta_k^{(n-1)} | X_{k,M}^{(n)})$ ใน

ทุกกรณีของ θ_k

ดังนั้นเราสามารถหา θ_k

ดังนั้นโดยการหาค่าต่ำสุดของอัตราส่วน kullback-leibler เพื่อที่จะทำให้ $P(\theta_k | X_{k,M}^{(n)}) = P(\theta_k^{(n-1)} | X_{k,M}^{(n)})$ ดังนั้นเราจะได้ว่า

$$P(\theta_k | X_{k,M}^{(n)}) = \underset{\theta_k}{\text{arg min}} KL(P(\theta_k^{(n-1)} | X_{k,M}^{(n)}) || P(\theta_k | X_{k,M}^{(n)})) \quad (5)$$

ดังนั้นเราจะสามารถหาค่าของ

$$P(b_k[t] | X_k^{(n)}) \propto \exp\left(E_{\theta_{k \setminus b_k[t]}^{(n-1)}} \left[\ln P(\theta_k, X_k^{(n)}) \right]\right) \quad (6)$$

$$\theta_k^{(n-1)} = (b_k^{(n)}[t], \theta_{k \setminus b_k[t]}^{(n-1)})$$

$$P(g_k | X_k^{(n)}) \propto \exp\left(E_{\theta_{k \setminus g_k}^{(n-1)}} \left[\ln P(\theta_k, X_k^{(n)}) \right]\right) \quad (7)$$

$$\theta_k^{(n-1)} = (g_k^{(n)}, \theta_{k \setminus g_k}^{(n-1)})$$

$$P(\sigma_k^2 | X_k^{(n)}) \propto \exp\left(E_{\theta_{k \setminus \sigma_k^2}^{(n-1)}} \left[\ln P(\theta_k, X_k^{(n)}) \right]\right) \quad (8)$$

$$\theta_k^{(n-1)} = (\sigma_k^{2(n)}, \theta_{k \setminus \sigma_k^2}^{(n-1)})$$

ในการหาค่าของ (6) เราสามารถคำนวณได้จาก

$$\begin{aligned}
P(b_k[t] | X_k^{(n)}) &\propto \exp\left(E_{\theta_k^{(n-1)} | b_k[t]} \left[\ln P(\theta_k, X_k^{(n)}) \right]\right) \\
P(b_k[t] | X_k^{(n)}) &\propto \exp\left(E_{\theta_k^{(n-1)} | b_k[t]} \left[\ln P(b_k[t], \theta_{k/b_k[t]}, X_k^{(n)}) \right]\right) \\
&\propto \exp\left(E_{\theta_k^{(n-1)} | b_k[t]} \left[\ln P(b_k[t], X_k^{(n)} | \theta_{k/b_k[t]}) \right]\right) + \exp\left(E_{\theta_k^{(n-1)} | b_k[t]} \left[\ln P(\theta_{k/b_k[t]}) \right]\right) \\
P(b_k[t], X_k^{(n)} | \theta_{k/b_k[t]}) &= \sum_{S_{k,t-1}} \alpha_{t-1}(S_{k,t-1}) \gamma_t(\underline{b}_{k,t}) \beta_t(S_{k,t}) \\
P(b_k[t], X_k^{(n)} | \theta_{k/b_k[t]}) &= \underbrace{\sum_{S_{k,t-1}} \alpha_{t-1}(S_{k,t-1}) P(x_k^{(n)}[t] | \underline{b}_{k,t}, \theta_{k/b_k[t]}) \beta_t(S_{k,t})}_{P_{ext}(b_k[t])} \cdot P(b_k[t])
\end{aligned}$$

โดยที่

$$\begin{aligned}
\alpha_{t-1}(S_{k,t-1}) &= P(S_{k,t-1} = b_k[t-1], X_{k,1:t-1}^{(n)} | \theta_{k/b_k[t]}^{(n-1)}) \\
\alpha_t(S_{k,t}) &= \frac{\sum_{S_{k,t-1}} \alpha_{t-1}(S_{k,t-1}) \gamma_t(\underline{b}_{k,t})}{\sum_{S_{k,t}} \sum_{S_{k,t-1}} \alpha_{t-1}(S_{k,t-1}) \gamma_t(\underline{b}_{k,t})} \\
\beta_t(S_{k,t}) &= P(X_{k,t+1:M}^{(n)} | S_{k,t} = b_k[t], \theta_{k/b_k[t]}^{(n-1)}) \\
\beta_{t-1}(S_{k,t-1}) &= \frac{\sum_{S_{k,t}} \beta_t(S_{k,t}) \gamma_t(\underline{b}_{k,t})}{\sum_{S_{k,t}} \sum_{S_{k,t-1}} \alpha_{t-1}(S_{k,t-1}) \gamma_t(\underline{b}_{k,t})} \\
\gamma_t(\underline{b}_{k,t}) &= P(S_{k,t} = b_k[t], x_k^{(n)}[t] | S_{k,t-1} = b_k[t-1], \theta_{k/b_k[t]}^{(n-1)}) \\
&= P(x_k^{(n)}[t] | \underline{b}_{k,t}, \theta_{k/b_k[t]}^{(n-1)}) P(\underline{b}_{k,t}) \\
P(x_k^{(n)}[t] | \underline{b}_{k,t}, \theta_{k/b_k[t]}^{(n-1)}) &\propto \left(\frac{1}{\sigma_k^{2(n-1)}}\right)^N \exp\left(-\frac{1}{\sigma_k^{2(n-1)}} \|x_k^{(n)}[t] - D_k(\underline{b}_{k,t}) g_k^{(n-1)}\|^2\right)
\end{aligned}$$

ในการหาค่าของสัญญาณโดยอาศัยวิธีการค่าต่ำสุดของอัตราส่วน kullback-leibler ทำให้เราได้ว่า

$$P(g_k | X_k^{(n)}) \propto \exp\left(E_{\theta_k^{(n-1)} | g_k} \left[\ln P(\theta_k, X_k^{(n)}) \right]\right)$$

โดยเรากำหนดให้ค่าของ g_k มีค่า priori
 เป็น $P(g_k) \propto \exp\left\{-\left(g_k - g_k^{(n-1)}\right)^H \Sigma_{g_k}^{-1(n-1)} \left(g_k - g_k^{(n-1)}\right)\right\}$

เมื่อเราใช้ (5) ในการหาค่า g_k เราจะได้

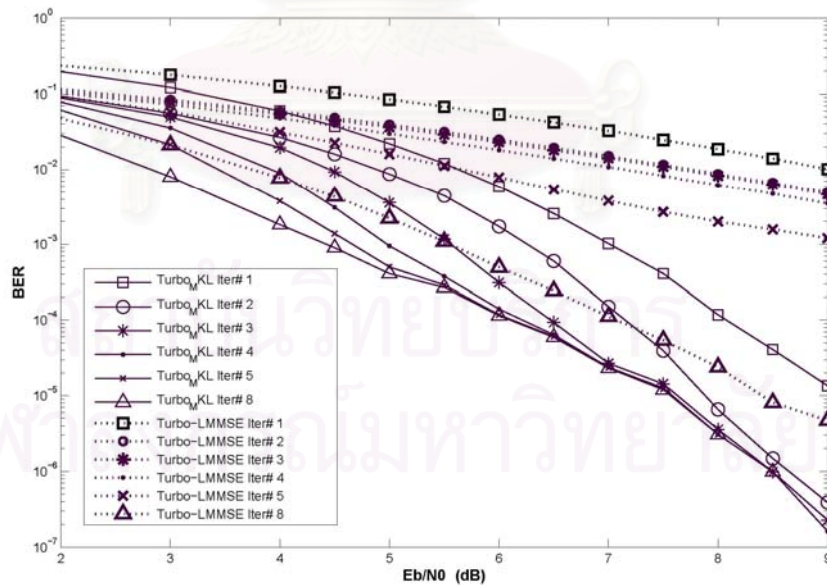
$$P(g_k | X_k^{(n)}) \propto \exp\left(-g_k^H \left[\sum_{t=1}^M \sum_{\underline{b}_{k,t}} \lambda_k(\underline{b}_{k,t}) \left(\frac{1}{\sigma_k^{2(n-1)}} D_k(\underline{b}_{k,t})^H D_k(\underline{b}_{k,t}) + \Sigma_{g_k}^{-1(n-1)} \right) \right] g_k \right) \cdot \exp\left(2\Re\left[g_k^H \left[\sum_{t=1}^M \sum_{\underline{b}_{k,t}} \lambda_k(\underline{b}_{k,t}) \left(\Sigma_{g_k}^{-1(n-1)} g_k^{(n-1)} + \frac{1}{\sigma_k^{2(n-1)}} D_k(\underline{b}_{k,t})^H x_k^{(n)}[t] \right) \right]\right]\right)$$

และสามารถคำนวณค่า g_k ได้

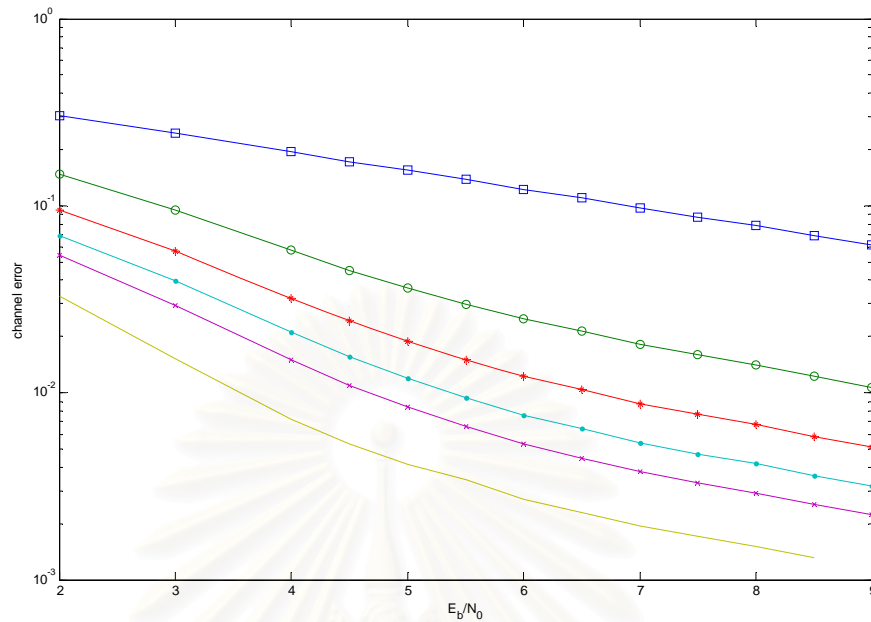
$$g_k^{(n)} = \left(I - \frac{\Sigma_{g_k}^{(n)} \Sigma_{k0}}{\sigma_k^{2(n-1)}} \right) g_k^{(n-1)} + \frac{\Sigma_{g_k}^{(n)}}{\sigma_k^{2(n-1)}} \sum_{t=1}^M \sum_{\underline{b}_{k,t}} \lambda_k(\underline{b}_{k,t}) D_k(\underline{b}_{k,t})^H x_k^{(n)}[t]$$

$$g_k^{(n)} = g_k^{(n-1)} + \frac{\Sigma_{g_k}^{(n)}}{\sigma_k^{2(n-1)}} \sum_{t=1}^M \sum_{\underline{b}_{k,t}} \lambda_k(\underline{b}_{k,t}) D_k(\underline{b}_{k,t})^H \left(x_k^{(n)}[t] - D_k(\underline{b}_{k,t}) g_k^{(n-1)} \right)$$

ผลการทดลอง



รูป 3. Performance BER Turbo-MKL และ turbo-LMMSE [7]

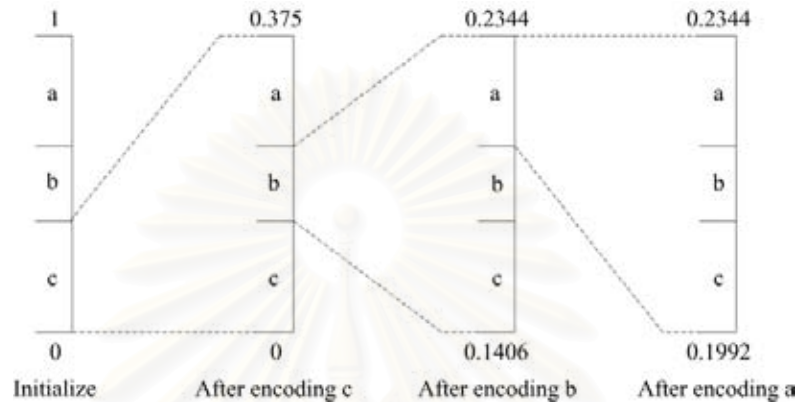


รูป 4. Performance of channel estimation error Turbo-MKL

การเข้ารหัสเชิงเลขคณิตที่มีความสามารถในการตรวจจับความผิดพลาดนั้นสามารถทำได้โดยการเพิ่มสัญลักษณ์ต้องห้ามลงไปในตารางความน่าจะเป็นที่ใช้ในการเข้ารหัสเชิงเลขคณิต โดยจะต้องมีการกำหนดตำแหน่งของสัญลักษณ์ต้องห้ามไว้ล่วงหน้าเนื่องจากการเข้ารหัสและถอดรหัสจำเป็นต้องสามารถสร้างตารางความน่าจะเป็นที่ใช้ในการเข้ารหัสและถอดรหัสที่ตรงกันทั้งด้านตัวเข้ารหัสและตัวถอดรหัส เนื่องจากหากไม่สามารถที่จะสร้างตารางความน่าจะเป็นที่ตรงกันได้ข้อมูลที่ถอดรหัสออกมาจากรหัสที่รับมานั้นจะเป็นข้อมูลที่ไม่ถูกต้องโดยข้อมูลที่ถอดออกมานั้นจะเกิดความผิดพลาดแบบต่อเนื่อง เนื่องจากการเข้ารหัสเชิงเลขคณิตมีคุณสมบัติการแพร่กระจายของความผิดพลาด (Error Propagation) คือหากเกิดความผิดพลาดขึ้นครั้งหนึ่งจากการถอดรหัสเนื่องจากรหัสที่ได้รับไม่ถูกต้องหรือตารางที่ใช้ในการถอดรหัสไม่ตรงกันจะทำให้การถอดรหัสข้อมูลหลังจากจุดที่เกิดความผิดพลาดขึ้นจะเกิดความผิดพลาดตามไปด้วย

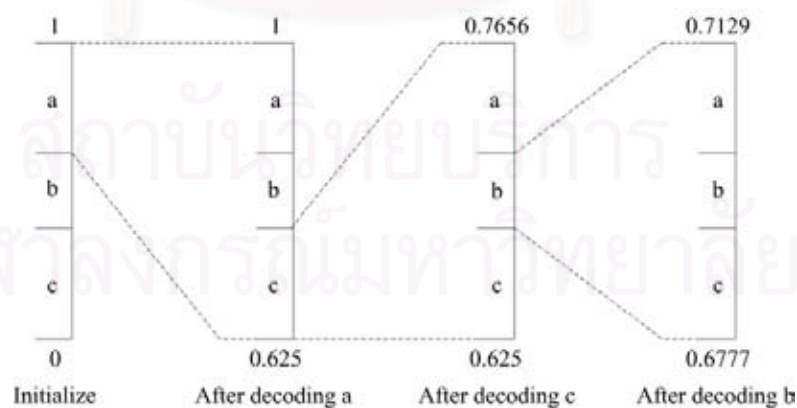
คุณสมบัติการแพร่กระจายของความผิดพลาดของการเข้ารหัสเชิงเลขคณิต สามารถอธิบายได้ด้วยตัวอย่างง่ายๆ ดังนี้ สมมติให้มีการเข้ารหัสข้อมูล cba โดยสัญลักษณ์ c มีค่าอยู่ในช่วง $[0, 0.375)$ สัญลักษณ์ b มีค่าอยู่ในช่วง $[0.375, 0.625)$ และสัญลักษณ์ a มีค่าอยู่ในช่วง $[0.625, 1)$

โดยหลังจากการเข้ารหัสดังในรูปที่ 1 แล้วเราจะได้ว่า รหัส *cba* สามารถแทนได้โดยใช้ค่าในช่วง $[0.1992, 0.2344)$ ในที่นี้ใช้ 001101 ซึ่งมีค่าเท่ากับ 0.203125



รูปที่ 1 การเข้ารหัสเชิงเลขคณิตของ *cba*

หลังจากที่ทำการส่งข้อมูลผ่านการเข้ารหัสเรียบร้อยแล้วหากรหัสที่ตัวถอดรหัสได้รับไม่ถูกต้องเช่นแทนที่จะได้รับรหัส 001101 กลับได้รับรหัส 101101 แทนทำให้การถอดรหัสแทนที่จะได้ข้อมูลที่ถูกต้องคือ *cba* กลับได้ข้อมูล *acb* แทนโดยการถอดรหัสของรหัส 101101 จะเป็นไปดังรูปที่ 2

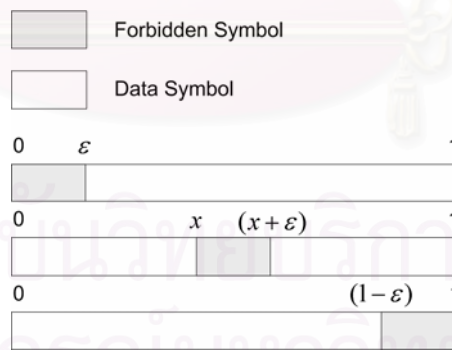


รูปที่ 2 การถอดรหัสของรหัส 101101

การที่บิตข้อมูลแรกที่ได้รับเปลี่ยนจาก 0 เป็น 1 ส่งผลให้ข้อมูลที่ถอดรหัสจากรหัสชุดนี้ผิดพลาดทั้งหมดถึงแม้ว่าข้อมูลที่เหลือจะถูกถอดทั้งหมดก็ไม่สามารถที่จะทำการถอดรหัสข้อมูลที่ถูกต้องได้ เช่นเดียวกันหากมีตารางความน่าจะเป็นที่ใช้ในการถอดรหัสครั้งใดไม่ตรงกับตารางความน่าจะเป็นที่ใช้ในการเข้ารหัสเพียงครั้งเดียวก็จะส่งผลให้การถอดรหัสที่เหลือทั้งหมดไม่ถูกต้องไปด้วย

จากคุณสมบัติการแพร่กระจายของความผิดพลาดของการเข้ารหัสเชิงเลขคณิตที่ได้กล่าวมาแล้วนี้เองที่ทำให้สามารถที่จะใช้คุณสมบัติดังกล่าวในการตรวจจับความผิดพลาดที่เกิดขึ้นในข้อมูลที่รับได้โดยการใส่สัญลักษณ์ต้องห้ามลงไปหรือที่เรียกว่า การตรวจจับความผิดพลาดแบบต่อเนื่อง (Continuous Error Detection: CED) [1], [2] โดยมีข้อกำหนดว่าในข้อมูลที่ทำการเข้ารหัสนั้นจะไม่มีสัญลักษณ์ต้องห้ามอยู่ ทำให้สามารถบอกได้อย่างแน่นอนว่าหากมีการถอดรหัสได้สัญลักษณ์ต้องห้ามที่ฝั่งตัวถอดรหัสหมายความว่ามีการรับข้อมูลที่ผิดพลาดเกิดขึ้นแล้ว

ตำแหน่งที่ใช้ในการวางสัญลักษณ์ต้องห้ามก็มีส่วนในการเข้ารหัสและถอดรหัส ดังที่ได้กล่าวไปแล้วว่าหากไม่สามารถที่จะสร้างตารางความน่าจะเป็นที่ใช้ในการเข้ารหัสและถอดรหัสที่ตรงกันได้ก็จะไม่สามารถถอดรหัสข้อมูลที่ถูกต้องได้ ดังนั้นในระบบที่มีการใช้การเข้ารหัสเชิงเลขคณิตที่มีความสามารถในการตรวจจับความผิดพลาดจำเป็นที่จะต้องมีการตกลงตำแหน่งของสัญลักษณ์ต้องห้ามไว้ก่อนล่วงหน้า โดยตำแหน่งของสัญลักษณ์ต้องห้ามอาจเป็นไปตามรูปแบบใดรูปแบบหนึ่งในรูปที่ 3



รูปที่ 3 ตำแหน่งของสัญลักษณ์ต้องห้าม

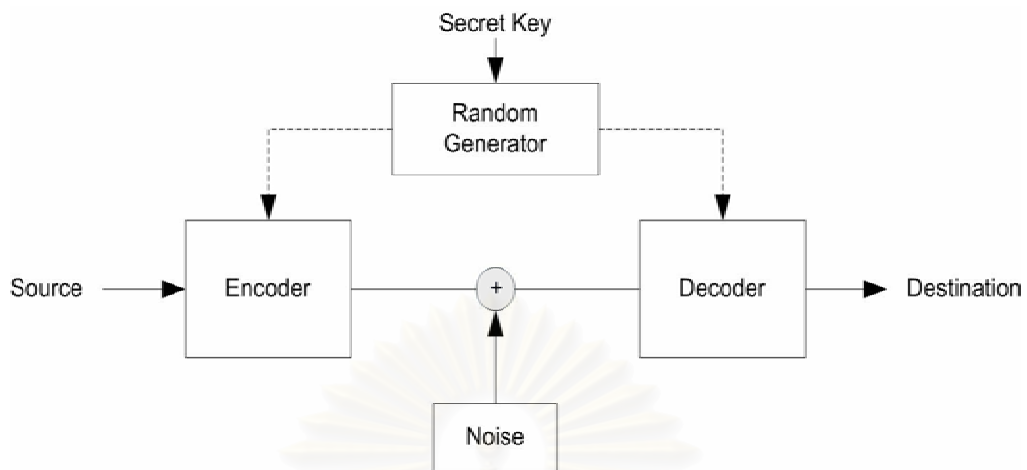
จะเห็นได้ว่าการวางสัญลักษณ์ต้องห้ามไว้ตรงกลางของตารางความน่าจะเป็นจะทำให้การคำนวณมากกว่าการวางสัญลักษณ์ต้องห้ามไว้ที่ปลายของตารางเนื่องจากมีการคำนวณเพียงฝั่งเดียว หากวางสัญลักษณ์ต้องห้ามไว้ตรงกลางของตารางความน่าจะเป็นจะต้องมีการคำนวณ 2 ฝั่งในกรณีที่เป็น การเข้ารหัสที่มีการใช้แบบจำลองแบบปรับได้ดังนั้นจึงควรเลือกใช้ตำแหน่งที่อยู่ที่ส่วนปลายของตาราง

ในระบบที่มีการใช้การเข้ารหัสเชิงเลขคณิตที่มีความสามารถในการตรวจจับความผิดพลาดนั้นสามารถที่จะเพิ่มความสามารถในการเข้ารหัสลับได้โดยวิธีการดังต่อไปนี้ กำหนดให้ตำแหน่งของสัญลักษณ์ต้องห้ามมีการเปลี่ยนแปลงตำแหน่งทุกครั้งที่มีการเข้ารหัสสัญลักษณ์แต่ละสัญลักษณ์ โดยอาจกำหนดให้มีตำแหน่งของสัญลักษณ์สำหรับกุญแจแต่ละแบบดังรูปที่ 4



รูปที่ 4 ตำแหน่งของสัญลักษณ์ต้องห้ามและกุญแจ

การทำการเข้ารหัสลับในรูปแบบนี้จำเป็นที่จะต้องมีการมีกุญแจที่มีจำนวนเท่ากับจำนวนของสัญลักษณ์ที่จะทำการเข้ารหัสโดยอาจสามารถสร้างได้โดยใช้ตัวกำเนิดสัญญาณไบนารีแบบสุ่มโดยใช้กุญแจลับ (Secret key) เป็นเมล็ด (Seed) ของกุญแจไบนารีที่มีความยาวเท่ากับสัญลักษณ์ที่จะทำการเข้ารหัส ทำให้สามารถเขียนระบบทั้งหมดที่ใช้ในการเข้ารหัสเชิงเลขคณิตที่มีความสามารถในการตรวจจับความผิดพลาดและเข้ารหัสลับได้ดังรูปที่ 5



รูปที่ 5 ระบบเข้ารหัสเชิงเลขคณิตที่มีความสามารถในการตรวจจับความผิดพลาดและเข้ารหัสลับ

การเข้ารหัสในลักษณะดังกล่าวนี้สามารถทำการขยายรูปแบบการใส่กุญแจได้โดยการเพิ่มตำแหน่งของกุญแจที่จะทำการใส่เพิ่มลงในข้อมูลโดยการเพิ่มจำนวนของตำแหน่งที่เป็นที่อยู่ของกุญแจนั้นจะไม่ส่งผลกับขนาดของข้อมูลที่ผ่านการเข้ารหัสแล้วเมื่อเทียบกับ

สถาบันวิทยบริการ
จุฬาลงกรณ์มหาวิทยาลัย

เอกสารอ้างอิง

- [1] X. Wang and A. Host-Madsen, "Group-blind multiuser detection for uplink CDMA," *IEEE J.Select. Areas Commun.*, vol. 17, pp. 1971 – 1984, Nov. 1999
- [2] H. Liu and G. Xu, "A subspace method for signature waveform estimation in synchronous CDMA systems," *IEEE Trans. Commun.*, vol. 44, pp. 1346–54, Oct. 1996.
- [3] Z. Xu, "Asymptotic performance of subspace methods for synchronous multirate CDMA systems," *IEEE Trans. on Signal Processing*, vol. 50, no. 8, pp. 2015-2026, August 2002.
- [4] Z. Xu, "On the second-order statistics of the weighted sample covariance matrix," *IEEE Trans. on Signal Processing*, vol. 51, no. 2, pp. 527-534, February 2003.
- [5] V. Smidl and A. Quinn, *The Variational Bayes Method in Signal Processing* Springer. Germany, 2006.
- [6] L. R. Bahl, J. Cocke, F. Jelinek, and J. Raviv, Optimal decoding of linear codes for minimizing symbol error rate, *IEEE Trans. Inform. Theory*, vol. 20, pp. 284-287, Mar. 1974.
- [7] X. Wang and H. Poor, "Iterative (turbo) soft interference cancellation and decoding for coded CDMA," *IEEE Trans. Commun.*, vol. 47, pp.1046-1061, 1999.
- [8] M. Tuchler, A. Singer and R. Koetter, "Minimum mean squared error equalization using a priori information" *IEEE Trans. Signal Processing*, vol. 50, pp. 673-683, March 2002.
- [9] M. Tuchler, R. Koetter and A. Singer, "Turbo equalization : Principles and new results," *IEEE Trans. Commun.*, vol. 50, pp. 754-767, May 2002.

[10] R. Koetter, A.C. Singer, and M. Tuchler, "Turbo equalization," IEEE Signal Processing Mag., vol. 21, no. 1, pp. 67-80, Jan. 2004.

[11] T. Abe and T. Matsumoto, "Space-time turbo equalization in frequencyselective MIMO channels," IEEE Trans. Vehicular Technology, vol. 52, pp. 469 - 475, May 2003. V. Smidl and A. Quinn,

[12] S. Kullback and R. Leibler, On information and sufficiency, Annals of Mathematical Statistics, vol. 22, pp. 7987, 1951.



สถาบันวิทยบริการ จุฬาลงกรณ์มหาวิทยาลัย